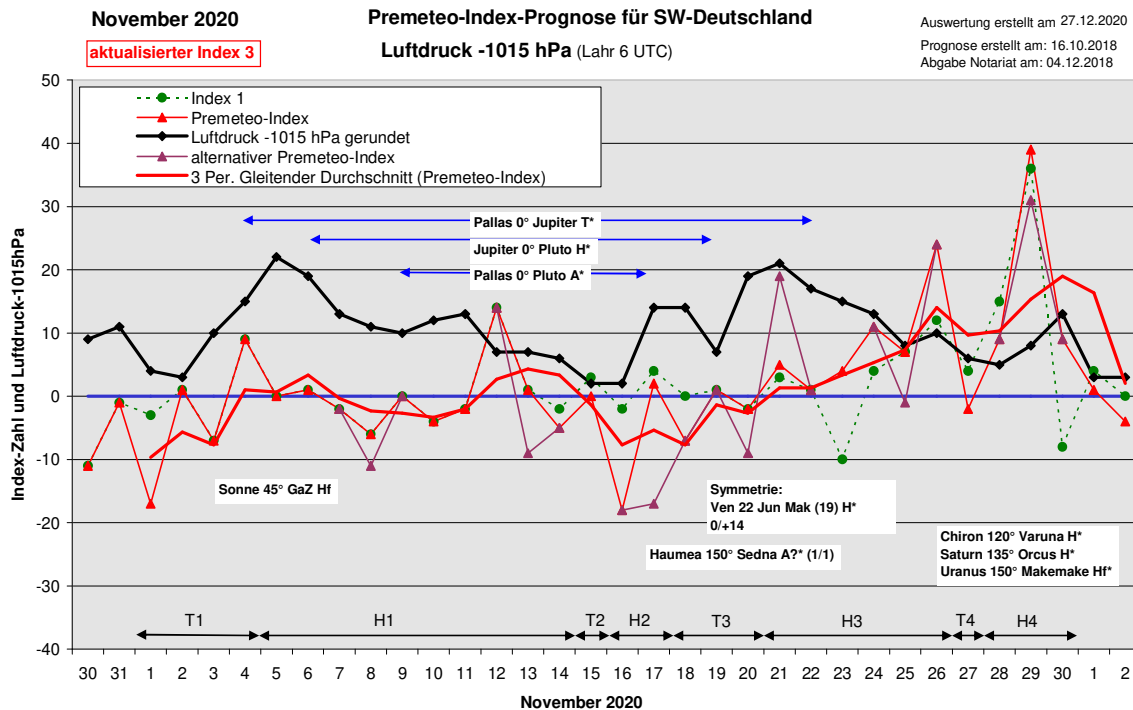


Wetterlagenverlauf November 2020 im Vergleich zur Premeteo-Indexprognose für Südwest-Deutschland

(Im Diagramm sind über der Datumsachse die real eingetreten Hoch- und Tiefdruckphasen durch Doppelpfeile eingetragen. Ausschlaggebend für die Evaluation ist der tägliche Premeteo-Index, in der dünneren, roten Linie mit Dreieckspunkten dargestellt. Ein negativer Premeteo-Index zeigt die Wahrscheinlichkeit für eine zyklonale Tiefdruckströmung, ein positiver Premeteo-Index die Wahrscheinlichkeit für eine antizyklonale Hochdruckströmung an.

Die Wetterlagenbeschreibungen wurden anhand der Berliner Wetterkarten erstellt. Ausschlaggebend ist die Europa-Bodenkarte um 0 UTC, die feiner skalierte 12 UTC-Karte von Mitteleuropa wird nur bei einem Wetterlagenwechsel für die Einordnung des Tages hinzugezogen. Am Ende des Dokuments befinden sich die Tabellen und Konstellationen, die dem Diagramm zugrunde liegen.)



Zusammenfassung: Die Prognose des November 2020 war an 21 Tagen bezüglich der Wetterlage erfüllt. Von den neun Fehlprognosetagen wiesen acht Tage nur geringe Premeteo-Indexwerte zwischen 1 und 6 auf. Wie es die Hypothese verlangt, hatten die Hochdruckphasen im Mittel einen positiven Premeteo-Index pro Tag (+4,38) und die Tiefdruckphasen einen negativen Wert (-2,67). Bei den Symbolprognosen gab es nur einen komplett falschen Tag, und dies zeigt, dass die Prognose insgesamt das Strömungsgeschehen erfasste.

Ein besonderes Charakteristikum des Monats ist die Dreier-Konjunktion von Pallas, Jupiter und Pluto, die sich zwischen dem 4. und 22. November vollzog und in den Abendstunden des 12. ihren exaktesten Moment auf rund 22°52' Steinbock erreichte. In diesem Zeitraum verlief der Luftdruck immer deutlich höher als der Premeteo-Index.

Auffallend war auch der Temperaturrückgang in den letzten 10 Tagen des Monats. Er trat mit Venus 0° Haumea / 30° Sonne ab dem 20. ein und war geprägt von einer Häufung von Aspekten der hochrangigen, weit außen im Sonnensystem verlaufenden Himmelskörper. Sieben solcher Aspekte wurden zwischen dem 23. und 29. November exakt: Orcus 45° Haumea T*, Chiron 72° Pluto H?* / 120° Varuna H*, Saturn 120° Sedna H* / 135° Orcus H* / 90° Haumea T* sowie Uranus 150° Makemake H*.

Die höchsten Tagesmitteltemperaturen des Monats traten in Lahr am 1. und 2. November mit 15,1°C und 19,1°C auf. Sie waren begleitet von Sonne 72° Jupiter TW, Venus 144° Ceres A /

60° Varuna H / 180° Chiron A, Merkur 90° Saturn HW, Vesta 72° Kn1 A*, Juno 72° Saturn A* und Sonne 72° Pluto T.

Die niedrigste Tagesmitteltemperatur wurde am 23. mit -1,8°C gemessen. Dies vollzog sich bei Quaoar 120° Apogäum A*, Orcus 45° Haumea T* sowie Venus 120° Ceres AW / 30° GSZ A.

Der höchste Luftdruck in Lahr um 6 UTC wurde am 5. mit 1036,7 hPa und am 21. mit 1036,4 hPa gemessen. Am 4. war Sonne 45° GaZ Hf exakt geworden, am 21. Sonne 144° Eris H. Der tiefste Luftdruck konnte in der Mitte des Monats am 15. und 16. mit 1016,8 hPa und 1017,3 hPa aufgezeichnet werden. Er ging mit einem deutlichen Anstieg der Tagesmitteltemperatur in Lahr einher und war begleitet von den Aspekten Sonne 60° Jupiter AW / 150° Eris Hf und Venus 90° Jupiter TK / 180° Eris A / 90° Pallas Tf / 144° Neptun H.

Beschreibung der einzelnen Wetterphasen:

Tiefdruckphase 1: Der November 2020 begann mit Tief Nina über dem Nordmeer, das sich über ganz Deutschland ausdehnte. Am 2. November bildete Tief ex-Zeta mit Kern über Schottland das Strömungsfeld über Deutschland und verband sich am 3. mit Tief Nina zu einem Tiefdrucksystem über dem westlichen Nordmeer. Am 4. lag der Kern von Tief Nina über dem Nordmeer, während Tief ex-Zeta bereits die Barentssee erreicht hatte. Zugleich hatte sich auch ein Tiefdruckkern über Dänemark positioniert. Der Premeteo-Index summierte über die 4-tägige Tiefdruckphase auf -14.

Hochdruckphase 1: Hoch Ramesh mit Kern bei Irland dehnte sich am 5. bis über Südwestdeutschland aus. Es verlagerte seinen Kern zum 6., 7., und 8. über Südostdeutschland, Österreich und über die Kaparten. Am 9. November wechselte die südwestdeutsche Region in den Einflussbereich von Hoch Scott über Nordpolen und lag am 10. innerhalb einer schmalen Hochdruckbrücke zwischen einem Hoch westlich von Portugal und Hoch Scott über Polen. Am 7., 8., und 10. verlief der Premeteo-Index im flach negativen Bereich, während Luftdruck und Strömung auf eine starke Antizyklonalität hinwiesen, obwohl der Druck vom 5. bis zum 9. stetig leicht fallend war. Einziger H-Aspekt war am 6. um 14:06 UTC Juno 144° aufsteigender Mondknoten H* in Verbindung mit der Konjunktion von Sonne und Juno am 8. um 08:55 UTC. Auffallend war die starke, atmosphärische Abkühlung, die damit eintrat. Hoch Scott über Weißrussland am 11. um 0 UTC ließ den Luftdruck auf den Maximumwert dieser Phase ansteigen. Der Premeteo-Index verlief noch im schwach negativen Bereich, stieg aber am 12. auf +14 an. Hoch Scott lag nun über der Ukraine und es gab ein weiteres Hoch über der spanischen Halbinsel. Zum 13. verlagerte sich der Kern von Hoch Scott nach Südwestrussland. Ein namenloses Hoch über dem Balkan prägte am 14. bei leicht fallendem Luftdruck noch die Atmosphäre über unserer Region. Der Premeteo-Index summierte über die 10-tägige Hochdruckphase auf -1.

Tiefdruckphase 2: Tief Roswitha mit Kern westlich von Schottland setzte sich am 15. für einen Tag durch. Der Premeteo-Index hatte den Wert 0.

Hochdruckphase 2: Bei einem Premeteo-Indexwert von -18 dehnte sich um 0 UTC des 16. Tief Roswitha nun mit Kern über der Nordsee noch über ganz Deutschland aus, aber um 12 UTC stellte sich schon eine antizyklonale Strömung ein, die am 17. auf Hoch Thodo über Westfrankreich zurückging. Der Premeteo-Index summierte über die 2-tägige Hochdruckphase auf -16.

Tiefdruckphase 3: Um 0 UTC des 18. bestimmte noch Hoch Thodo die Wetterlage über Deutschland, doch um 12 UTC hatte sich die Strömung bereits zyklonalisiert. Tief ex-Eta mit Kern über Südnorwegen nahm am 19. den Raum über Deutschland ein und verlagerte seinen Kern zum 20. über die Barentssee. Der Premeteo-Index summierte über die 3-tägige Tiefdruckphase auf -8.

Hochdruckphase 3: Hoch Udo mit Kern über Südostdeutschland übernahm am 21. die Regie. Zum 22. verlagerte es seinen Kern über den Balkan. Am 23. wechselte Südwestdeutschland in den Isobarenbereich von Hoch Valentin mit Kern über Ostfrankreich. Das Hoch verlagerte sich mit seinem Zentrum zum 24. über die Ostalpen, dann über den Nordostbalkan und zeigte am 26. einen Kern über den Ostalpen und einen Kern über dem Ostbalkan. Die Tagesmittelwerte der Temperatur verliefen je nach Lage und Nebelbildung

nahe der Frostgrenze. Der Premeteo-Index summierte über die 6-tägige Hochdruckphase auf +52.

Tiefdruckphase 4: Ein Tief mit Kern südwestlich von Portugal dehnte seinen Isobarenbereich am 27. für einen Tag über Westdeutschland aus. Der Premeteo-Index hatte den Wert -2.

Hochdruckphase 4: Am 28. kam Südwestdeutschland mit Chiron 120° Varuna H* und Saturn 135° Orcus H* in den Isobarenbereich von Hoch Valentin über dem Nordwestbalkan, am 29. mit Uranus 150° Makemake Hf* in den Isobarenbereich von Hoch Willi über Südschweden. Der Premeteo-Index hatte einen hohen positiven Wert von +39 und aufgrund der kalten Luftmassen stieg auch der Luftdruck kräftig an. Bis 0 UTC des 30. verlagerte Hoch Willi seinen Kern direkt in den Luftraum über Deutschland und der Luftdruck erreichte sein Maximum. Der Premeteo-Index summierte über die 3-tägige Hochdruckphase auf +57.

SW-D befand sich an 21 Tagen im Einflussbereich antizyklonaler Strömung. Die Summe des prognostizierten Premeteo-Index für diese Tage ergab +92. Dies entsprach einer Indexzahl von +4,38 pro Tag.

An 9 Tagen befand sich SW-D im Einflussbereich zyklonaler Strömung. Die Summe des prognostizierten Premeteo-Index für diese Tage ergab -24. Dies entsprach einer Indexzahl von -2,67 pro Tag.

Die Prognose durch die Premeteo-Wettersymbole war an 1 Tagen falsch (am 12.), an 11 Tagen richtig und an 18 Tagen tendenziell richtig.

Zu den Tabellen



27.12.2020
November 2020
01.11.2020



Prognose für SW-Deutschland

aktualisierter Index 3

Vom 03. bis 22. Pallas 0° Jupiter T°, 06. bis 19. Jupiter 0° Pluto H°. Vom 07. bis 09. Sonne 0° Juno T, vom 09. bis 09. Pallas 0° Pluto.
Dreierkonjunktion Pallas-Jupiter-Pluto vom 09. bis 16. November 2020.
Vom 27. bis 30. Vesta 0° Orcus H° und vom 29. bis 30. Pallas 0° Saturn.
Vom 07. bis 09. unsicher Aspekte im Index 3.
Die rot markierten Aspekte im Index 3 sind Aspekte, bei denen der ursprüngliche Konjunktionsplanet den höheren Rang hat als der Partnerplanet. Das bedeutet, dass der Konjunktionsplanet bei diesen Aspekten immer als Planet 2 auftritt. Diese Aspekte werden ab Januar 2020 nicht mehr angerechnet.

Langsamläufer-Impulse						H*		T*		
Schnellläufer-Impulse	T, 2H	2T		Hf		H	Tf	T	T	
Temperaturimpulse	2W	K?				W	K, W		K?, W	W
Premeteo-Index - zyklonal, + antizyklonal (Index 1+2+3)	-17	1	-7	9	0	1	-2	-6	0	-4
Pre.IX (ALTERNATIV)								-11		
Index 1 (12 - 12 UTC) exakte Aspekte des Tages	-3	1	-7	9	0	1	-2	-6	0	-4
Index 1(ALTERNATIV)								-11		
Symmetrien (0 - 0 UTC)	Ven 22 Orc Hau (10) T° (14)	Mar 10cp Ven Mer (04) T A --- Cer 36 Plu Chi (05) H? (5/2) ---		Chi 3op Ven GSZ (12) A T? (2/5) ---	Ven 5op Mar Chi (20) T A ---		Mak 5 Ven GSZ (00) T W H? (3,5/1) ---	Ven 136 Sed Cer (14) A W T° ---	Ura 10op Son Mer (17) H T --- Son 45 Qua GSZ (18) A A ?	Son 10op Ura Sed (05) H A --- Ura 9op Jun Mer (09) A° T° ---
Index 2 (12 - 12 UTC)	-14	0	0	0	0	0	0	0	0	0
Index 2 ALTERNATIV										
ausgelöste Aspekte (= durch Konjunktionen aktivierte Aspekte)						Chi 72 Plu H? (5/2)	Jun 144 Kn1 (H5) Orc 45 Hau T-11 Chi 72 Plu H? (5/2) Hau 150 Sed ? Hau 60 GaZ ?	Jun 144 Kn1 (H5) Orc 45 Hau T-11 Chi 72 Plu H? (5/2) Hau 150 Sed ? Hau 60 GaZ ?	Jun 144 Kn1 (H5) Orc 45 Hau T-11 Chi 72 Plu H? (5/2) Hau 150 Sed ? Plu 90 Eri A? (4/5)	Chi 72 Plu H? (5/2) Plu 90 Eri A? (4/5)
Index 3 (Summe)	0	0	0	0	0	0	0	0	0	0
Index 3 ALTERNATIV										
Symbol-Prognose	5	3	3	3	3	3	3	3	3	3
Symbol-Prognose altern.	5	3	3	3	3	3	3	5	3	3
Wochentag	So	Mo	Di	Mi	Do	Fr	Sa	So	Mo	Di
Datum	1	2	3	4	5	6	7	8	9	10
reale Wetterlage	T1: 3T - Hf, 2H / -14				H1: 3H°, 3H - 2T°, Tf, 8T / -1					
Luftdruck (hPa) 06 UTC	1019	1017,6	1024,7	1030,1	1036,7	1033,6	1028,2	1025,7	1024,5	1026,6
mittl. Temp.(°C)	15,1	19,1	10,9	8,1	7,2	4,2	3,7	6,9	9,6	7,4
Sonnenscheindauer (h)	0	0,1	0	0	6,4	5,3	0,2	0,5	8,2	0
Niederschlag (Liter)	3,4 / 12	4,9	3,4 / 8	0	0	0	0	0,1	0,1	0,3
Bodenwetterlage 00 UTC (Kernlage des Druckgebiets, das SW-D beeinflusst)	T ü NM, H ü S-F	T n Schottl	T-Syst ü Nm	T-Syst m Kernen ü Däne, Nm, Barents	H bei Irland	H ü So-D	H ü Öster, T ü O-Atl	H ü S-Kapart, T ü O-Atl	H ü N-Polen, T ü O-Atl	H ü Polen
Bodenströmung 12 UTC zyklonal (z), antizyklonal (a)	fl z	a-z	a	a-z	a	a	a-z	a-z	fl z	a
Strömung auf 500 hPa 00 UTC	W a	W a	SW a-z	SW a-z	SW fl a	NO z	SW fl z	SW a	N z	SW z
zutreffende Wettersymbole	5 r	3-5 hr	5 hr	5 hr	2 hr	2-3 r	2-5 r	3-5 r	2-3 hr	5 hr

Übertrag
Index 1: 0
Index 2: -14

00:36	03:05	16:34	00:03	04:30	03:43	07:53	08:55	00:46	
SON 72 JUP SKO 09°02'46" STE 21°02'45" T W -3	VES 72 KNI JUN 04°01'59" ZWI 22°01'60" A°	SON 144 CHI SKO 11°42'48" WID 05°42'49" A	SON 45 GaZ SKO 12°01'33" SCH 27°01'33" Hf +9	VEN 72 KN2 WAA 09°52'15" SCH 21°52'16" A	MAR 150 JUN WID 15°39'00" SKO 15°39'00" A	MER 60 GaZ WAA 27°01'33" SCH 27°01'33" Tf -7	SON 0 JUN SKO 16°24'29" SKO 16°24'29" Tf -6	URA 144 GSZ STI 08°20'30" WAA 02°20'30" A (4/5)	SON 45 OUA SKO 18°14'37" STE 03°14'37" A
07:38	03:29		02:22	08:04	06:42	11:43	10:24	07:14	
VEN 144 CER WAA 05°09'16" WAS 29°09'17" A	SAT 72 JUN STE 26°16'45" SKO 14°16'45" A°		VEN 150 URA WAA 08°32'30" STI 08°32'31" A	VES 30 VAR JUN 05°11'15" LOW 05°11'15" A°	JUP 150 KNI STE 21°48'48" ZWI 21°48'48" A°	SON 150 MAR SKO 15°31'16" WID 15°31'16" A K	PAL 150 KNI STE 21°41'58" ZWI 21°41'58" T° 0-5	SON 45 GSZ SKO 17°20'31" WAA 02°20'30" A K?	SON 120 NEP SKO 18°15'45" FIS 18°15'46" A W
08:14	16:10		22:44		09:14	16:54	12:04	08:29	
VEN 60 VAR WAA 05°11'05" LOW 05°11'06" H ---	SON 72 PLU SKO 10°41'44" STE 22°41'43" T -3		SON 60 ORC SKO 12°58'22" JUN 12°58'22" A		MER 90 SAT WAA 26°31'23" STE 26°31'22" H W +1	SON 144 KNI SKO 15°44'17" ZWI 21°44'17" A W	MER 0 HAU WAA 27°49'44" WAA 27°49'44" A	VEN 135 CER WAA 14°58'08" WAS 29°58'07" A W	
19:06	22:46				12:00	18:06	18:01	09:36	
MER 90 SAT WAA 26°15'37" STE 26°15'37" H W +1	VEN 0 MAK WAA 07°08'23" WAA 07°08'23" T K? -4				SON 72 SAT SKO 14°31'47" STE 26°31'47" A	VEN 30 ORC WAA 13°00'34" JUN 13°00'33" A	MER 45 ORC WAA 28°01'18" JUN 13°01'18" A	VEN 72 GaZ WAA 15°01'33" SCH 27°01'32" A	
19:56					13:10	22:10	23:31	16:10	
VEN 180 CHI WAA 05°46'41" WID 05°46'42" A					CHI 150 VES WID 05°37'06" JUN 05°37'06" A°	VEN 135 SED WAA 13°13'01" STI 28°12'23" A	MER 150 SED WAA 28°12'23" STI 28°12'23" A	VEN 180 MAR WAA 15°21'41" WID 15°21'40" T -4	
					14:03				
					JUN 144 KNI SKO 15°47'50" ZWI 21°47'50" H° +5				

November 2020



Prognose für SW-Deutschland

aktualisierter Index 3

Vom 03. bis 22. Pallas 0° Jupiter T°, 06. bis 19. Jupiter 0° Pluto H°, Vom 07. bis 09. Sonne 0° Juno T°, vom 09. bis 09. bis 16. Pallas 0° Pluto.
Dreierkonjunktion Pallas-Jupiter-Pluto vom 09. bis 16. November 2020.
 Vom 27. bis 30. Vesta 0° Orcus H° und vom 29. bis 30. Pallas 0° Saturn.
 Vom 07. bis 09. unsicherer Aspekte im Index 3.
 Die rot markierten Aspekte im Index 3 sind Aspekte, bei denen der ursprüngliche Konjunktionsplanet den höheren Rang hat als der Partnerplanet. Das bedeutet, dass der Konjunktionsplanet bei diesen Aspekten immer als Planet 2 auftritt. Diese Aspekte werden ab Januar 2020 nicht mehr angerechnet.

Langsamläufer-Impulse		2H°, T°								?
Schnellläufer-Impulse	T, H	T	2T, H	2T	Hf	T, Tf, H	T, H		T, 2H	2H, T
Temperaturimpulse		K, K?	2K, W	K?, W	W	K			K?, W	K
Premeteo-Index -zyklonal, + antizyklonal (Index 1+2+3)	-2	14	1	-5	0	-18	2	-7	1	-2
Pre.IX (ALTERNATIV)			-9				-12			-6
Index 1 (12 - 12 UTC) exakte Aspekte des Tages	-2	14	1	-2	3	-2	4	0	1	-2
Index 1(ALTERNATIV)			-9							-6
Symmetrien (0 - 0 UTC)	Eri 70p Ven Mer (05) A Ti ... Mer 70p Ura Eri (20) T Ti ... Son 67 Sat Orc (22) H° ...	Jun 46 Qua GSZ (12) A° A° ?° ?° Ven 74 Var Qua (20) Tst° ...	Ven 40p Mar Eri (01) T A ... Eri 40p Ven Hau (02) A° ?° ... Jup 0 Plu Pal (03) H° T° ?°	Mar 143 Son Ves (04) T W H A ? Ves 135 Plu Eri (08) A° A° A°(4/5) ... Hau 6 Ven Mer (16) A A ...	Plu 91 Ven Eri (04) A A°(4/5) A ... Ura 150p Son Ven (13) T K ... Sed 145 Ven Qua (20) A. A°(5,5/5) A ... Sat 68 Chi Jun (21) T° ... Jup 90 Ven Eri (22) T K A° A° -7	Mar 172 Ven Mak (00) T H ? Pal 90 Ven Eri (20) Tat A° A° 0:14	Son 30 Ven GaZ (13) T K A T-7 GaZ 30 Son Sat (14) A A° H ... Ves 80p Nep Cer (18) A° H° ...	Plu 72 Chi Mer (05) H°(5/2) A A ... Son 30 Hau GaZ (10) A A° ... Jun 67 Sat Orc (18) H° ...	Jun 8 Son Mer (10) T A ... Ven 22 Jun Mak (19) H° 0:14 Mar 145 Jun Ves (19) A H° A° (0+7)	
Index 2 (12 - 12 UTC)	0	0	0	0	0	-14	0	-7	0	0
Index 2 ALTERNATIV							-14			
ausgelöste Aspekte (= durch Konjunktionen aktivierte Aspekte)	Chi 72 Plu H°(5/2) Plu 90 Eri A°(4/5)	Chi 72 Plu H°(5/2) Plu 90 Eri A°(4/5)	Chi 72 Plu H°(5/2) Plu 90 Eri A°(4/5)	Son 60 Plu T-3 Chi 72 Plu H°(5/2) Plu 90 Eri A°(4/5)	Son 60 Plu T-3 Chi 72 Plu H°(5/2) Plu 90 Eri A°(4/5)	Ven 90 Jup T-2 Chi 72 Plu H°(5/2) Plu 90 Eri A°(4/5)	Ven 90 Jup T-2 Chi 72 Plu H°(5/2) Plu 90 Eri A°(4/5)	Chi 72 Plu H°(5/2) Plu 90 Eri A°(4/5)	Chi 72 Plu H°(5/2) Plu 90 Eri A°(4/5)	Mer 72 Jup H1 Sat 90 Hau T-7 Orc 45 Hau T-11 Hau 150 Sed 7°
Index 3 (Summe)	0	0	0	-3	-3	-2	-2	0	0	0
Index 3 ALTERNATIV										
Symbol-Prognose	3	2	3	3	3	5	3	3	3	3
Wochentag	Mi	Do	Fr	Sa	So	Mo	Di	Mi	Do	Fr
Datum	11	12	13	14	15	16	17	18	19	20
reale Wetterlage					T2: Hf / 0	H2: 2H - Tf, 2T / -16		T3: ?° - 2T - 4H / -8		
Luftdruck (hpa) 06 UTC	1027,8	1021,6	1021,8	1021,4	1016,8	1017,3	1028,6	1029,3	1022,2	1034
mittl. Temp.(°C)	8,1	9,6	10,8	11,3	13,3	11,4	9,3	6,9	9,3	5
Sonnenscheindauer (h)	0	0,8	0,7	8,1	6,2	1	4,9	8	0,8	5,4
Niederschlag (Liter)	0,1	0 / 1	0	0	4 / 8	0 / 0,5	0	0	0,6 / 2	0
Bodenwetterlage 00 UTC (Kernlage des Druckgebiets, das SW-D beeinflusst)	H ü Belarus, H ü W-Mm	H ü Ukrai, T n Schottl	H ü SW-R, H ü Türk, T s Isl	H ü Balk	T w Schottl	T ü Nsee	H ü W-F	H ü O-Alpen	T ü S-Norw	T ü Barents, H ü O-Atl
Bodenströmung 12 UTC zyklonal (z), antizyklonal (a)	fl a	fl a	a z	fl a	z	a	a	z	a	fl z
Strömung auf 500 hpa 00 UTC	SW z	W a	NW fl z	W a z	SW a	SW z	Nw a	NW a	SW z	NW z
zutreffende Wettersymbole	5 hr	5 f	5 hr	2 hr	2-3 hr	5 r	5 hr	2 hr	5 hr	3-5 r

MER 120 CER SKO 00°11'23" FIS 00°11'23" A	VEN 150 NEP WAA 18°14'40" FIS 18°14'41" A K	MER 30 GSZ SKO 02°20'31" WAA 02°20'31" A	SAT 30 GaZ STE 27°01'32" SCH 27°01'32" A°	SON 60 JUP SKO 23°14'36" STE 23°14'36" WID 23°42'53" A W	PAL 90 ERI STE 23°42'53" WID 23°42'53" A°	SON 72 ORC SKO 25°06'40" JUN 13°06'39" A	MER 60 VES SKO 09°40'54" JUN 09°40'54" A	VEN 60 GaZ WAA 27°01'31" SCH 27°01'32" T-2	VEN 0 HAU WAA 28°05'29" WAA 28°05'28" A
JUN 45 GSZ SKO 17°20'31" WAA 02°20'31" A°	GSZ 150 APO WAA 02°20'31" STI 02°20'31" H° +13	PLU 135 VES SON 22°21'09" WAA 07°21'10" T K? -3	SON 45 FY9 VEN 21°21'09" WAA 07°21'10" T K? -3	VEN 144 SED MER 135 KN1 SKO 06°17'36" ZWI 21°17'37" A°	SAT 144 KN1 STE 27°14'39" ZWI 21°14'39" A°	SON 30 GaZ SKO 27°01'31" SCH 27°01'32" A	SON 60 SAT WAA 28°05'32" STE 27°25'05" H K? +3	VEN 150 SED WAA 28°05'32" STI 28°05'30" H +2/0	
VEN 72 VAR WAA 17°10'47" LÖW 05°10'47" A	SON 135 CHI SKO 20°26'22" WID 05°26'23" T K? -3	MER 180 APO SKO 02°25'27" STI 02°25'28" T-2	VEN 72 QUA WAA 21°19'58" STE 03°19'59" A	MER 90 VAR SKO 05°09'57" LÖW 05°09'58" A	VEN 90 JUP WAA 23°25'31" STE 23°25'31" T K-2	MER 180 APO SKO 08°00'36" STI 08°00'36" T-2	CER 144 FY9 FIS 01°26'18" WAA 07°26'18" A°	SED 150 EL6 STI 28°05'30" WAA 28°05'30" A°	
SON 72 VES SKO 19°14'04" JUN 07°14'05" A	PAL 0 JUP STE 22°50'55" STE 22°50'55" T° 0:10	JUP 135 VES WAA 21°22'29" ZWI 21°22'28" A W	VEN 120 KN1 WAA 21°22'29" ZWI 21°22'28" A	MER 150 CHI SKO 05°21'26" WAA 23°42'40" WID 23°42'39" A	VEN 180 ERI WAA 23°42'40" WID 23°42'39" H +4	MAR 144 VES WID 15°18'30" JUN 09°18'30" H +4	MER 72 PLU SKO 10°59'41" STE 22°59'42" A	VEN 45 ORC WAA 28°08'15" JUN 13°08'16" A	
VEN 30 JUN WAA 17°25'47" SKO 17°25'48" T-2	PAL 0 PLU STE 22°51'48" STE 22°51'47" A°	SON 144 MAR SKO 21°14'19" WID 15°14'19" T W -3	CHI 72 PAL STE 23°22'26" A°	SON 60 PAL WAA 23°34'28" STE 23°34'28" A	VEN 90 PAL WAA 23°52'39" STE 23°52'37" T---	JUP 90 ERI STE 23°41'58" WID 23°41'58" A°	VEN 90 SAT WAA 27°25'54" STE 27°25'54" H W ...	MER 45 GaZ SKO 12°01'32" SCH 27°01'32" A	
VES 30 FY9 JUN 07°18'04" WAA 07°18'03" A°	JUP 0 PLU STE 22°51'50" STE 22°51'50" H° +6	SON 150 KN1 SKO 21°26'16" WID 21°26'16" A K	SON 60 PLU SKO 22°54'04" STE 22°54'03" T-6	VES 135 ERI JUN 08°43'06" WID 23°43'06" A°	VEN 45 VES WAA 24°07'16" JUN 09°07'16" A	MER 144 CHI SKO 11°15'11" WID 05°15'12" H +1	MER 72 JUP SKO 12°07'04" STE 24°07'04" A	JUN 135 CHI VEN 30 SON SKO 20°15'09" WAA 28°19'10" SKO 28°19'10" T K 0 / -2	
MAR 45 CER WID 15°16'12" FIS 00°16'12" H +4	PAL 135 VES STE 23°04'38" JUN 08°04'38" A°	NEP 120 JUN FIS 18°13'46" SKO 18°13'46" A°	VEN 150 ERI SKO 23°43'04" WAA 24°12'18" Hf +9 H +2	VEN 144 NEP WAA 24°12'18" FIS 18°12'18" H +2	JUN 135 CHI VEN 30 SON SKO 20°15'09" WAA 28°19'10" SKO 28°19'10" T K 0 / -2	JUN 135 CHI VEN 30 SON SKO 20°15'09" WAA 28°19'10" SKO 28°19'10" T K 0 / -2	MER 72 PAL FIS 18°11'12" STI 03°11'12" STE 25°03'14" A	SON 30 EL6 SKO 28°05'25" WAA 28°05'25" JUN 13°08'40" A	
	MER 60 QUA SKO 03°19'06" STE 03°19'05" H +1		VEN 90 PLU WAA 22°55'13" STE 22°55'14" A				SON 180 SED SKO 28°05'32" STI 28°05'32" A		

November 2020



Prognose für SW-Deutschland

aktualisierter Index 3

Vom 03. bis 22. Pallas 0° Jupiter T*, 06. bis 19. Jupiter 0° Pluto H*, Vom 07. bis 09. Sonne 0° Juno T, vom 09. bis 09. bis 16. Pallas 0° Pluto.
Dreierkonjunktion Pallas-Jupiter-Pluto vom 09. bis 16. November 2020.
 Vom 27. bis 30. Vesta 0° Orcus H* und vom 29. bis 30. Pallas 0° Saturn.
 Vom 07. bis 09. unsicher Aspekte im Index 3.
 Die rot markierten Aspekte im Index 3 sind Aspekte, bei denen der ursprüngliche Konjunktionsplanet den höheren Rang hat als der Partnerplanet. Das bedeutet, dass der Konjunktionsplanet bei diesen Aspekten immer als Planet 2 auftritt. Diese Aspekte werden ab Januar 2020 nicht mehr angerechnet.

Langsamläufer-Impulse			T*		H?*	3H*	H*	3H*	H*, H*, T*	H*	
Schnellläufer-Impulse	H	H	H	T, 2H	T, H	T, H	2T	H, T	2H	2T, H	
Temperaturimpulse			W	K, W, K?	2K?*		W?		W	W	
Premeteo-Index -zyklonal, + antizyklonal (Index 1+2+3)	5	1	4	11	7	24	-2	9	39	9	
Pre.IX (ALTERNATIV)	19				-1				31		
Index 1 (12 - 12 UTC) exakte Aspekte des Tages	3	1	-10	4	7	12	4	15	36	-8	
Index 1 (ALTERNATIV)					-1				28		
Symmetrien (0 - 0 UTC)	Pal 2 Sat Plu (19) A* A* Auslösung im Index 3!	Ura 7 op Ven Mer (02) A, T --- Ven 29 Son GSZ (23) T K A H +14	Mer 15 Son Ven (07) T K (-14) Ura 10op Hau Mer (16) H? (5/1,5) T ---	Mer 46 Qua GSZ (01) H H ? -+7	Sed 6op Son Jun (14) A H* --- Mer 67 Sat Orc (18) H* --- Sat 67 Chi Mer (21) T ---	Pal 1 Jup Sat (05) T* A* --- Auslösung im Index 3! Var 120 Son Chi (21) A H*(80,5) A --- Chi 120 Son Var (22) A H*(80,5) A --- Son 120 Chi Var (22) A A H*(80,5) ---		GSZ 15op Mar Nep (05) H --- Jup 2 Sat Plu (18) A*(4/6,5) H* +7 Auslösung im Index 3!	GaZ 31 Pal Mer (13) H* H A +14	Mer 29 Hau GaZ (08) A H ? +7 GaZ 29 Jup Mer (15) H* H AW (+14) Plu 72 Ven Chi (20) A H?*(4/2) A W ---	
Index 2 (12 - 12 UTC)	0	0	14	7	0	0	0	0	7	21	
Index 2 ALTERNATIV	14										
ausgelöste Aspekte (= durch Konjunktionen aktivierte Aspekte)	Auslösung durch Index 2: Pal 0 Jup T* -5 Sat 120 Sed H* +7 Chi 72 Plu H? +80 Plu 90 Eri A?*(4/5)					Auslösung durch Index 2: Pal 30 GaZ H* +5 Sat 120 Sed H* +7 Chi 72 Plu H? +80 Plu 90 Eri A?*(4/5)		Sat 135 Orc H? Jun 150 Eri H5 Orc 45 Hau T-11	Sat 135 Orc H? Jun 150 Eri H5 Orc 45 Hau T-11	Mer 72 Orc T-1 Sat 120 Sed H? Orc 45 Hau T-11 Auslösung durch Index 2: Sat 120 Sed H* +7 Chi 72 Plu H? +80 Plu 90 Eri A?*(4/5)	Sat 120 Sed H? Orc 45 Hau T-11
Index 3 (Summe)	2	0	0	0	0	12	-6	-6	-4	-4	
Index 3 ALTERNATIV											
Symbol-Prognose	2	3	3	2	3	2	3	3	2	3	
Wochentag	Sa	So	Mo	Di	Mi	Do	Fr	Sa	So	Mo	
Datum	21	22	23	24	25	26	27	28	29	30	
reale Wetterlage	H3: 3H*, H?*, 7H - T*, 3T / +52						T4: 2T - H? / -2	H4: H?, 5H*, 4H - T*, 3T / +57			
Luftdruck (hpa) 06 UTC	1036,4	1032,2	1030,4	1027,8	1022,5	1024,5	1021,4	1020,2	1022,7	1028,3	
mittl. Temp.(°C)	0	1,7	-1,8	1,8	1,1	0,5	2,8	1,3	0,8	-2,2	
Sonnenscheindauer (h)	4,7	5,5	0,5	0	0	0	4,5	0	4,4	5,7	
Niederschlag (Liter)	0	0	0	0	0	0	0	0 / 0,5	0	8,1	
Bodenwetterlage 00 UTC (Kernlage des Druckgebiets, das SW-D beeinflusst)	H ü SO-D	H ü Balk	H ü O-F	H ü O-Alpen	H ü NO-Balk	H mit Kernen ü O-Alpen u O-Balk	T sw Portu, H ü Balk	H ü NW-Balkan	H ü S-Scand	H ü D	
Bodenströmung 12 UTC zyklonal (z), antizyklonal (a)	a	fl a	a-z	fl z	fl z	fl a	fl z	a-z	a	a	
Strömung auf 500 hpa 00 UTC	N a	NW a	W a-z	N fl a	N a	SW a	SW fl a	fl a	N a-z	N fl z	
zutreffende Wettersymbole	3 r	3 r	5 hr	2-5 hr	2-5 r	2-5 hr	2-5 r	2-5 r	2-5 hr	2-3 hr	

12:49 SON 144 ERI SKO 29°40'08" WID 23°40'08" H +3	02:17 MER 144 KNI SKO 14°58'33" ZWI 20°58'33" A	06:53 VEN 120 CER SKO 02°08'21" FIS 02°08'22" A W	02:52 VEN 135 NEP SKO 03°10'12" FIS 18°10'12" A	09:37 SON 30 OUA SCH 03°34'38" STE 03°34'38" T ---	05:00 VEN 135 KNI SKO 05°45'28" ZWI 20°45'29" T ---	00:58 MER 45 MAK SKO 22°33'12" WAA 07°33'14" T -1	07:19 JUN 60 PLU SKO 23°12'01" STE 23°12'01" H* +5	01:18 URA 150 MAK STI 07°34'53" WAA 07°34'53" H* +9	00:10 VES 0 ORC JUN 131 207 JUN 131 207 H* ---
19:04 JUN 150 KNI SKO 20°59'30" ZWI 20°59'31" A*	13:25 MER 72 SAT SKO 15°40'37" STE 27°40'38" H +1	08:40 ORC 45 HAU WAA 28°09'48" T* -11	03:19 SON 90 CER SCH 02°18'02" FIS 02°18'01" T K ---	11:14 CHI 72 PLU WID 05°07'54" STE 23°07'54" H?*(4/2) +80	08:49 JUN 45 MAK SKO 22°32'40" WAA 07°32'40" H* +5	05:19 MER 0 JUN SKO 22°50'03" A W?	10:59 MER 72 VES SKO 24°45'07" JUN 12°45'09" H ---	02:52 MER 60 JUP SKO 25°46'51" STE 25°46'52" AW	00:15 SON 45 PLU SCH 08°14'34" STE 23°14'34" T -3
13:38 SON 135 MAR SCH 00°42'49" WID 15°42'48" A	10:51 VEN 30 GSZ SKO 02°20'38" WAA 02°20'36" A	04:20 SON 60 GSZ SCH 02°20'36" WAA 02°20'37" H +3	11:20 MER 135 CHI SKO 20°07'52" WID 05°07'53" T K? -1	10:08 CER 72 KN2 FIS 02°44'48" SCH 20°44'48" H* +5	10:40 MER 60 PLU SKO 23°10'46" STE 23°10'45" T -2	14:03 CHI 120 VAR WID 05°04'43" LÖW 05°04'43" H*(80,5) +80	08:20 SON 150 URA SCH 07°34'16" STI 07°34'17" A	08:47 SON 135 ERI SCH 08°36'10" WID 23°36'10" T -5	
14:01 MER 150 MAR SKO 15°42'54" WID 15°42'54" A	15:43 MER 45 GSZ SKO 17°20'37" WAA 02°20'36" H +1	04:41 SON 18°10'10" FIS 18°10'11" A W	15:28 SON 150 APO SCH 03°49'25" STI 03°49'24" A	15:35 PAL 144 KNI STE 26°44'05" ZWI 20°44'05" A*	15:21 PAL 30 GaZ STE 27°01'31" SCH 27°01'32" H* +10	15:47 SAT 135 ORC STE 28°11'44" JUN 13°11'44" H* +7	08:40 SON 60 MAK SCH 07°35'06" WAA 28°18'24" A*	08:56 VES 45 EL6 JUN 131 824 WAA 28°18'24" A*	
21:57 QUA 120 APO STE 03°31'09" STI 03°31'09" A*	08:45 CER 150 GSZ FIS 02°20'37" WAA 02°20'37" A*	16:20 VEN 90 VAR SKO 05°06'13" LÖW 05°06'12" H +2	16:06 SAT 120 SED STE 28°01'19" STI 28°01'19" H* +7	15:56 VEN 30 FY9 SKO 07°33'45" WAA 07°33'45" A	17:50 MER 72 ORC SKO 25°11'44" JUN 13°11'45" T -1	12:20 JUN 150 ERI SKO 23°36'32" WID 23°36'32" H* +10	12:20 MER 60 PAL SKO 25°11'36" STE 27°51'36" A		
10:19 VEN 60 QUA SKO 03°33'15" STE 03°33'16" A	16:48 VEN 150 CHI SKO 05°07'40" WID 05°07'39" A	21:01 MER 144 MAR SKO 22°17'55" WID 16°17'55" H ---	17:11 VEN 180 URA SKO 07°37'38" STI 07°37'39" A	17:30 MER 150 ERI SKO 23°37'16" WID 23°37'17" A	22:04 MER 30 GaZ SKO 27°01'32" SCH 27°01'32" H +1	12:48 MER 180 SED SKO 27°58'55" STI 27°58'55" A	14:04 VEN 144 CHI SKO 11°03'04" WID 05°03'02" A W		
13:10 VEN 180 APO SKO 03°42'05" STI 03°42'05" A K?	16:25 MAR 144 JUN WID 15°58'25" SKO 21°58'25" A	21:53 SON 120 CHI SCH 05°06'21" WID 05°06'22" A	15:24 VEN 72 PLU SKO 11°15'32" STE 23°15'32" A	17:55 MER 30 EL6 SKO 28°18'51" WAA 28°18'51" A	19:02 MER 60 SAT SKO 28°23'12" STE 28°23'12" H +1	20:28 PAL 120 SED STE 27°58'44" STI 27°58'44" A*	15:24 VEN 72 PLU SKO 11°15'32" STE 23°15'32" A		

November 2020: Fehlprognosen

Datum	Vorzeichen Symbol	Analyse
2.	+1 3-5 hr	Tief ex-Zeta mit Kern über Schottland. Flacher Index,
4.	+9 5 hr	Tief Nina über dem Nordmeer. Flacher Index. Am Folgetag Beginn einer Hochdruckphase.
7.	-2 2-5 r	Hoch Ramesh über Österreich. Am 7., 8., und 10. verlief der Premeteo-Index im flach negativen Bereich, während Luftdruck und Strömung auf eine starke Antizyklonalität hinwiesen, obwohl er vom 5. bis zum 9. stetig leicht fallend war. Einziger H-Aspekt war am 6. um 14:06 UTC Juno 144° aufsteigender Mondknoten H* in Verbindung mit der Konjunktion von Sonne mit Juno am 8. um 08:55 UTC. Auffallend war die starke, atmosphärische Abkühlung, die damit verbunden war.
8.	-6 3-5 r	Hoch Ramesh über Südkaparten. Analyse siehe 7. November. Flacher Index.
10.	-4 5 hr	Schmale Hochdruckbrücke zwischen einem Hoch westlich von Portugal und Hoch Scott über Polen. Analyse siehe 7. November. Flacher Index.
11.	-2 5 hr	Hoch Scott über Weißrussland. Flacher Index, auf 500 hPa zyklonal. Hoch Scott über Weißrussland ließ um 0 UTC den Luftdruck auf den Maximumwert dieser Phase ansteigen. Der Premeteo-Index verlief noch im schwach negativen Bereich, stieg aber am 12. auf +14 an.
14.	-5 2 hr	Hoch über Balkan. Deutlich fallender Luftdruck. Zyklonale Strömung am Folgetag. Flacher Index, einzelner positiver Tag.
16.	-18 5 r	Tief Roswitha über Nordsee um 0 UTC. Um 12 UTC stellte sich schon eine antizyklonale Strömung ein, die am 17. durch Hoch Thodo über Westfrankreich bewirkt wurde. Auf 500 hPa zyklonal.
19.	+1 5 hr	Tief ex-Eta über Südnorwegen. Flacher Index, einzelner positiver Tag.

Monatsauswertung (Lahr)

Dez 20

H-Wetterlagen

	Anzahl der Wetterlagen	Anzahl der Tage	Niederschlag in Liter	H*	Hf	H	T*	Tf	T	L
normal	2	9	8,1 / 8,6	10	0	11	1	0	6	0
anormal	2	12	0,6 / 1	3	0	5	2	1	10	0
gesamt	4	21	8,7 / 9,6	13	0	16	3	1	16	0

Verhältnis H/Tage = 29/21 = 1,38
 Verhältnis T/Tage = 20/21 = 0,95

T-Wetterlagen

	Anzahl der Wetterlagen	Anzahl der Tage	Niederschlag in Liter	H*	Hf	H	T*	Tf	T	L
normal	2	5	11,7 / 20	1	1	2	0	0	5	0
anormal	2	4	4,6 / 10	0	1	4	0	0	2	1
gesamt	4	9	16,3 / 30	1	2	6	0	0	7	1

Verhältnis H/Tage = 9/9 = 1,00
 Verhältnis T/Tage = 7/9 = 0,78

ganzer Monat	Anzahl der Wetterlagen	Anzahl der Tage	Niederschlag in Liter	H*	Hf	H	T*	Tf	T	L
	8	30	25 / 39,6	14	2	22	3	1	23	1

Gesamtzahl H-Aspekte: 38
 Gesamtzahl T-Aspekte: 27
 Zahl aller Aspekte: 178
 Quotient H/T = 1,41
 Gesamtzahl L-Aspekte: 1

Niederschlag Durbach: s.o. hinter Schrägstrich

r = richtig hr = halbrichtig f = falsch

Symbolprognose in Tagen	11 r 18 hr 1 f
--------------------------------	----------------

Premeteo-Index pro Tag	HWL +92/21 = +4,38	TWL -24/9 = -2,67
-------------------------------	--------------------	-------------------

bezüglich des Vorzeichens richtige Tage	21	bezüglich des Vorzeichens falsche Tage	9
--	----	---	---

Bei der Auswertung des Januar 2017 wurde entdeckt, dass im Index 3 möglicherweise nur dann Auslösungsaspekte aktiviert werden, wenn der Konjunktionsplanet einen Aspekt mit einem Planeten bildet, der einen höheren Rang hat als der betroffene Konjunktionsplanet selbst. Dies bestätigte sich im Laufe des ganzen Jahres 2017. Manchmal entstand der Eindruck, dass die im korrigierten Index 3 nicht mehr angerechneten Aspekte auf 500 hpa zum Teil doch anwesend waren. Ab Januar 2018 werden nur noch die im Index 3 korrigierten Prognosen ausgewertet.

